

روشی جدید برای تطابق سریع و مقاوم تصاویر هوایی و ماهواره‌ای بر مبنای زاویه انتخابی و مقیاس

محسن صفری، پیمان معلم و مهران ستاری

قسم روش‌های مبتنی بر ناحیه و روش‌های مبتنی بر ویژه تقسیم‌بندی می‌گردد. در روش‌های مبتنی بر ناحیه در واقع هیچ ویژه آشکار نمی‌گردد و بیشترین تمرکز در بخش تطابق می‌باشد [۱]. از مهم‌ترین این روش‌ها می‌توان به روش‌های همبستگی مکانی، همبستگی فاز و اطلاعات دوطرفه اشاره نمود که به صورت جستجوی پنجه‌ای به دنبال شبیه‌ترین پنجه‌های می‌گردد. در صورتی که بین تصویر هدف و مرجع تبدیلات پیچیده‌ای انجام شده باشد، دیگر این روش‌ها قادر به بازیابی و پیداکردن تصویر هدف در مرجع نخواهند بود. در روش‌های مبتنی بر ویژه، ساختارهای مهم تصویری، ویژه‌های ناحیه‌ای مانند عوارض طبیعی (جنگل، دریا و خشکی)، خطوط (لبه‌ها، جاده‌ها و رودخانه‌ها) و نقاط (گوشه‌ها، تلاقی خطوط، خمس بالا) به عنوان ویژه انتخاب می‌گردد. پایداری نقاط ویژه یعنی توزیع مناسب نقاط ویژه در تصویر و قابلیت آشکارسازی در هر دو تصویر مرجع و هدف در شرایط مختلف مختلف یا به عبارت دیگر نقاط ویژه پایدار تحت شرایط مختلف تصویری (تفییرات هندسی و تغییرات کیفی) در دو تصویر، می‌توانند آشکار، توصیف و تطابق داده شوند. روش‌های مبتنی بر ویژه برخلاف روش‌های مبتنی بر ناحیه به طور مستقیم از خصوصیات سطح روشنایی تصویر استفاده نمی‌کنند که باعث پایداری بیشتر تطابق‌ها خواهد شد. روش‌های مبتنی بر ویژه نیز به سه دسته ویژه‌های ناحیه‌ای، خطی و نقطه‌ای تقسیم‌بندی می‌گردد.

ویژه‌های ناحیه‌ای، نواحی بسته با وضوح بالا و اندازه مناسب مانند دریاچه‌ها، ساختمان‌ها، جنگل‌ها و مکان‌های شهری می‌باشند که می‌توانند به عنوان ویژه‌هایی جهت تطابق و ثبت تصویری مورد استفاده قرار گیرند. ویژه‌های محلی می‌توانند با استفاده از روش‌های قطعه‌بندی و تطابق قطعات جداسده یعنی بررسی پارامترهای قطعه‌بندی انجام شود. ویژه‌های خطی، قطعات خطی، کانتور، خطوط ساحلی، جاده‌ها و نواحی اعضاً آناتومی بدن انسان در تصاویر پزشکی می‌باشند که تطابق تصویری با توجه به شباهت این ویژه‌ها از طریق مشخصه خطوط آشکارشده انجام می‌شود. روش‌های استخراج لبه مانند روش‌های Canny و LOG از کاربردی‌ترین روش‌های استخراج لبه می‌باشند. ویژه‌های نقطه‌ای روش‌هایی برای استخراج تلاقی خطوط و جاده‌ها، مرکز نقل، نقاط واریانس بالا، تقطیع احنای محلی توسط روش تبدیل موجک گابر، احنای ایجاد و اکسترمم‌های محلی در تبدیل موجک و گوشه‌ها می‌باشند. با توجه به این که جزئیات متعددی در تصاویر هوایی و ماهواره‌ای وجود دارد، روش‌های استخراج نقاط ویژه یا تطابق نقاط ویژه برای تطابق تصاویر هوایی و ماهواره‌ای پیشنهاد می‌گردد. پس از استخراج نقاط ویژه برای تطابق نقاط ویژه از روش‌های ارتباط مکانی، روش‌های مبتنی بر گراف، روش‌های مبتنی بر دسته‌بندی، تطابق چامبری، روش سه‌بعدی نزدیک‌ترین نقطه تکراری و ایجاد توصیف‌گرهای پایدار مانند توصیف‌گرهای مبتنی بر روشنایی، ویژه‌های ناحیه‌ای، توزیع مکانی نقاط ویژه همسایه، میانگین زوایای خطوط وابسته، توصیف‌گر

چکیده: به منظور غلبه بر مشکلات تطابق تصاویر هوایی و ماهواره‌ای از جمله تغییرات مقیاسی، دوران، شدت روشنایی و شکل هندسی از روش SIFT برای استخراج نقاط ویژه استفاده شده است ولی این روش نقاط ویژه متعددی را از تصاویر هوایی و ماهواره‌ای به دلیل اختشاشات و عوامل محیطی استخراج می‌کند که تعداد زیاد نقاط ویژه باعث افزایش زمان ایجاد بردار توصیف‌گر و تطابق‌های نامطلوب خواهد شد. برای ارتقای کیفیت نقاط ویژه استخراج شده و افزایش سرعت اجرای الگوریتم، ابتدا لبه‌های اصلی تصاویر توسعه عملگر سبل و آستانه‌گذاری استخراج گردیده و سپس نقاط ویژه از روی تصویر لبه‌ها با استفاده از روش SIFT استخراج می‌گردد. بعد از استخراج نقاط ویژه، با استفاده از روش fBREIF که پایداری مطلوبی در برابر دوران و اختشاشات جوی دارد، توصیف‌گرهایی برای هر یک از نقاط ویژه ایجاد می‌شود. سپس با استفاده از RANSAC روش تطابق دوطرفه و حذف تطابق‌های نامطلوب با استفاده از روش RANSAC تطابق‌های صحیح بین تصاویر هوایی و ماهواره‌ای توسعه روش پیشنهادی ایجاد می‌گردد. نتایج پیاده‌سازی روش پیشنهادی بر روی تصاویر تهیه شده، نشان‌دهنده برتری این روش از لحاظ صحت تطابق‌ها و سرعت این روش نسبت به روش‌های قبلی از جمله روش SIFT می‌باشد.

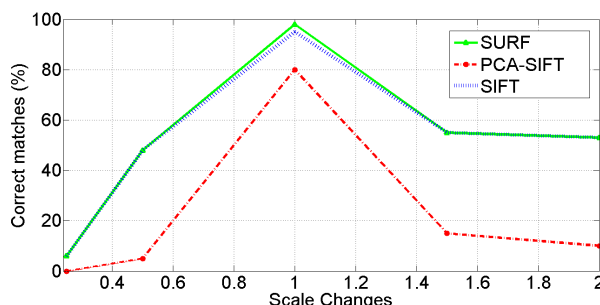
کلیدواژه: نقاط ویژه، بردار توصیف‌گر، عملگر سبل، SIFT، fBREIF، تطابق دوطرفه، RANSAC.

۱- مقدمه

تطابق تصویر، عبارتست از فرایندی که در آن ارتباط یا همپوشانی دو تصویر یا چند تصویر از طریق یک رابطه هندسی به دست می‌آید. فرایند تطابق تصاویر می‌تواند به طور وسیع در سنجش از راه دور، تغییرات داده‌های مکانی، بازسازی سه‌بعدی تصاویر، شناخت هدف و تلفیق تصاویر استفاده گردد [۱]. از کاربردهای مهم تطابق تصاویر، تطابق تصاویر هوایی و ماهواره‌ای در فتوگرامتری و ناوبری هوایی می‌باشد که در این تحقیق ما قصد داریم روشی جدید را برای تطابق تصاویر هوایی و ماهواره‌ای ارائه دهیم. محدودیت‌هایی همچون تغییرات آب و هوا، روشنایی، مقیاس، دوران و زاویه در تطابق تصاویر هوایی و ماهواره‌ای از موضوعات مهم و چالش برانگیز در ماشین‌بینایی و پردازش تصویر می‌باشد که باعث ارائه تحقیقات متعدد برای کاهش این محدودیت‌ها در سال‌های اخیر شده است. روش‌هایی که هماکنون برای تطابق تصاویر استفاده می‌گردد بر دو

این مقاله در تاریخ ۲۷ مرداد ماه ۱۳۹۳ دریافت و در تاریخ ۱۸ خرداد ماه ۱۳۹۵ بازنگری شد.

محسن صفری، گروه مهندسی برق، دانشکده فنی مهندسی، دانشگاه اصفهان، اصفهان، email: moh.safdar@eng.ui.ac.ir).
 پیمان معلم، گروه مهندسی برق، دانشکده فنی مهندسی، دانشگاه اصفهان، اصفهان، email: p.moallem@eng.ui.ac.ir).
 مهران ستاری، گروه مهندسی نقشه‌برداری، دانشکده فنی مهندسی، دانشگاه اصفهان، اصفهان، email: sattari@eng.ui.ac.ir).



شکل ۲: درصد تطابق‌های صحیح سه روش SURF، SIFT و PCA-SIFT بر حسب مقیاس‌های مختلف.

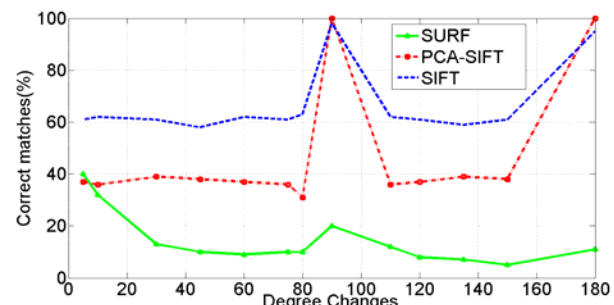
توصیف‌گر SURF نسبت به جهت غالب با اتصال جهت گرادیان این همسایگی‌ها (یک فضای 4×4 در اطراف نقطه ویژه) ایجاد می‌گردد. با بررسی‌های انجام‌شده دیده شد که روش‌های SURF و PCA-SIFT دارای پیچیدگی‌های کمتری نسبت به روش SIFT خواهند بود ولی همه این روش‌ها دارای کیفیتی به مراتب پایین‌تر از روش SIFT می‌باشند. در شکل ۱ پایداری روش‌های مختلف در برابر تغییرات دوران برای دو تصویر که به صورت اولیه نسبت به هم اختلاف درجه ۱۸۰ را دارند رسم گردیده است. همان طور که دیده می‌شود مقاومت روش SIFT نسبت به دو روش SURF و PCA-SIFT بیشتر می‌باشد. البته در دو زاویه ۹۰ درجه (اختلاف ۹۰ درجه بین تصویر هدف و مرجع) و درجه ۱۸۰ (تصویر هدف و مرجع هم جهت و هم‌راستا) که اختلاف جهت نقاط ویژگی در تصویر مرجع و هدف کمتر شده است بیشترین درصد تطابق صحیح قابل مشاهده می‌باشد. همچنین مقاومت تطابق‌های روش SIFT در برابر تغییرات مقیاس نسبت به روش‌های PCA-SIFT و SURF همان طور که در شکل ۲ نشان داده شده است بیشتر می‌باشد. در این تحقیق ما قصد داریم روش جدیدی را ارائه دهیم تا بتواند علاوه بر داشتن کیفیت روش SIFT در زمان کمتر نقاط ویژه با صحت بالا به همراه توصیف‌گرهایی با قابلیت تمایز بالا را استخراج کند. نتایج پیاده‌سازی روش پیشنهادی در این تحقیق بر روی تصاویر هوایی و ماهواره‌ای نشان داد که با افزایش صحت نقاط ویژه و کاستن زمان بیهوده برای توصیف نقاط ویژه نامطلوب توسط روش پیشنهادی می‌توان تطابق‌هایی مطلوب‌تر از روش SIFT را ایجاد نمود.

۲- روش SIFT

روش SIFT در سال ۲۰۰۴ توسط David Lowe برای آشکارسازی و توصیف نقاط ویژه با پایداری در برابر تغییرات روشنایی، دوران، مقیاس و تبدیل Affine ارائه شد [۵]. برای پایداری نقاط ویژه در برابر تغییرات مقیاس از فضای هرمی استفاده کرد. برای ایجاد فضای هرمی ابتدا تصویر توسط فیلتر گوسی تا ۵ مرحله توسط ضربایی از متغیر σ در رابطه فیلتر گوسی (رابطه (۱)) نرم می‌شود. سپس اندازه هر یک از ۵ تصویر نصف می‌گردد و دوباره این تصاویر تا ۵ مرحله با فیلتر گوسی نرم می‌شوند و این عمل تا شش مرحله ادامه پیدا می‌کند (شکل ۳)

$$G(x, y, \sigma) = \frac{1}{2\pi\sigma^2} e^{-\frac{(x^2+y^2)}{2\sigma^2}} \quad (1)$$

پس از تشکیل فضای هرمی که در شکل ۳ نشان داده شده است، نقاط ویژه بالقوه که شامل حباب‌ها و گوشه‌ها می‌باشند از طریق استخراج اکسترمه‌های محلی تفاضل دو تصویر نرم‌شده متولی در فضای هرمی که



شکل ۱: درصد تطابق‌های صحیح سه روش SURF، SIFT و PCA-SIFT بر حسب دوران‌های مختلف.

شکلی، توصیف‌گر گشتاوری، توصیف‌گر زوایای گرادیان، توصیف‌گر مبتنی بر هیستوگرام، توصیف‌گرهای گوشه‌ای و ایجاد توصیف‌گرهای هرمی و تبدیل موجکی می‌توان استفاده نمود [۲].

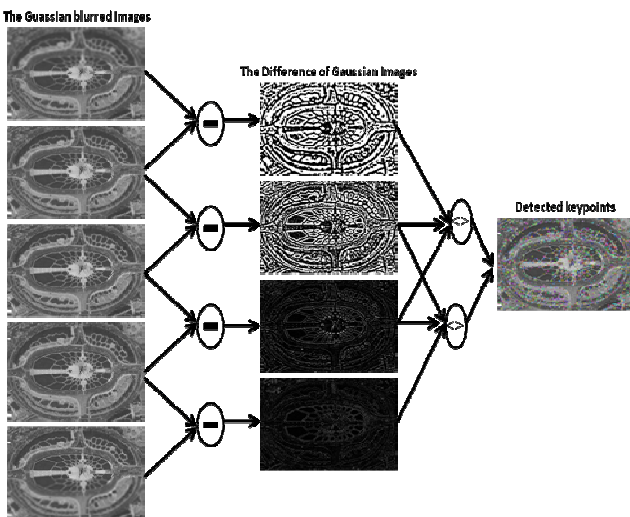
در تحقیقات اولیه برای استخراج نقاط ویژه بیشتر از روش‌هایی برای استخراج گوشه‌ها با تغییرات سطوح خاکستری در جهات مختلف به عنوان نقاط ویژه استفاده گردید که عبارتند از روش‌های SUSAN، Hariss و FAST [۲] تا [۴]. در این روش‌ها، نقاط ویژه استخراجی نسبت به تغییرات مقیاس، دوران، زاویه، تبدیل Affine و تغییرات روشنایی پایداری ندارند و در نتیجه صحت تطابق‌ها نیز به شدت افت پیدا می‌کند.

در سال ۲۰۰۴، David Lowe روش^۱ SIFT را ارائه کرد و نشان داد به دلیل استخراج نقاط ویژه از طریق ساختار هرمی، نقاط ویژه نسبت به تغییرات مقیاس، دوران، روشنایی و اغتشاشات پایدار می‌باشند ولی در روش SIFT تعدد نقاط ویژه نامطلوب، صرف زمان بسیار برای ایجاد بردار توصیف‌گر نقاط ویژه و شیاهت بردارهای توصیف‌گر روش SIFT برای ویژه‌های مشابه از مهم‌ترین مشکلات موجود در این روش به شمار می‌رود [۵].

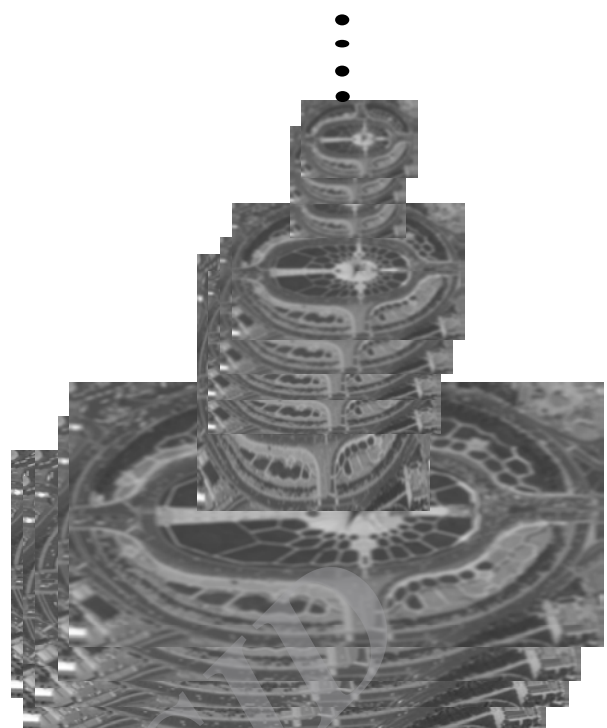
در سال ۲۰۰۴، Ke و همکاران روشی مبتنی بر روش SIFT را ارائه دادند که برای آشکارسازی نقاط ویژه از روش SIFT و برای توصیف آن از روش مبتنی بر PCA استفاده نمود [۶]. برای ایجاد ماتریس فضای ویژه ابتدا یک ناحیه با ابعاد 41×41 در اطراف همه نقاط ویژه در نظر گرفته می‌شود. بعد از آن، گرادیان‌های افقی و عمودی در این ناحیه محاسبه می‌شوند و با اتصال جهت گرادیان‌های افقی و عمودی، آرایه‌ای به طول 39×39 2×2 ایجاد خواهد شد. در ادامه توسط روش SIFT این بردار 30×42 عضوی مثلاً به تعداد ۳۶ عضو کاهش داده می‌شود که این کاهش بعد بردار توصیف‌گر باعث افزایش سرعت روش SIFT خواهد شد [۷].

روش^۲ SURF برای کاهش پیچیدگی‌های روش SIFT توسط Tuytelaars و همکارانش در سال ۲۰۰۶ برای استخراج و توصیف نقاط ویژه ارائه گردید [۸]. در قسمت آشکارسازی نقاط ویژه، برخلاف روش SIFT که از فیلترهای گوسی برای ساخت فضای هرمی استفاده می‌کرد در این روش از عملگر انتگرال‌گیر برای ساخت فضای هرمی استفاده شده است که باعث کاهش پیچیدگی محاسباتی در قسمت آشکارسازی نقاط ویژه خواهد شد. پس از ساخت فضای مقیاس با استفاده از ماتریس Hessian در نهایت محاسبه مقادیر ویژه این ماتریس می‌توان نقاط ویژه را آشکار نمود. برای توصیف نقاط ویژه با ایجاد یک فضای همسایگی در اطراف نقاط ویژه و محاسبه جهت گرادیان در راستاهای محور افق و عمود،

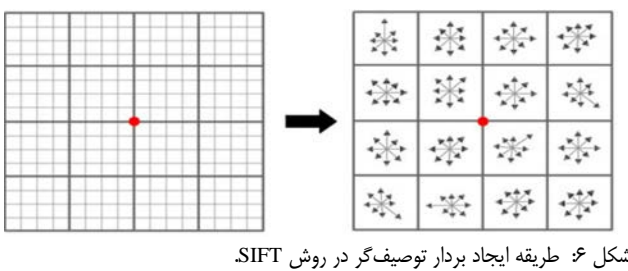
1. Scale Invariant Feature Transform
2. Speeded Up Robust Features



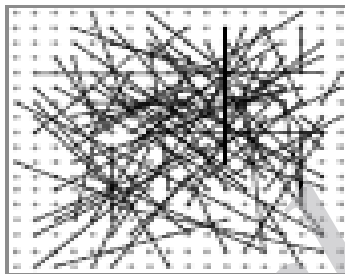
شکل ۴: طریقه محاسبه Laplacian of Gaussian با استفاده از دیفرانسیل دو تصویر نرم‌شده متوالی در فضای هرمی و استخراج نقاط ویژه از طریق محاسبه نقاط کمینه و بیشینه تصاویر لبه و گوش و اعمال روش Harris.



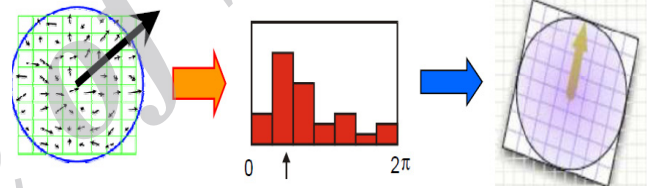
شکل ۳: فضای هرمی ایجادشده توسط روش SIFT بر روی تصویر هوایی از میدان آزادی در تهران.



شکل ۶: طریقه ایجاد بردار توصیف‌گر در روش SIFT



شکل ۷: نمونه‌ای از مسیرهای تصادفی از جفت نقاط ویژه که برای محاسبه در (۲) مورد استفاده قرار می‌گیرد.



شکل ۵: طریقه استخراج جهت نقاط ویژه با استفاده از استخراج هیستوگرام اندازه گردایان جهتی در اطراف نقطه ویژه.

تقریبی از عملگر LOG^۱ می‌باشد استخراج می‌گردد. برای استخراج نقاط ویژه مقاوم، نقاط کمینه و بیشینه در تصاویر دیفرانسیل از طریق مقایسه هر پیکسل با هشت همسایگی همان سطح و دو سطح بالایی و پایینی به عنوان نقاط ویژه انتخاب می‌گردد (شکل ۴). در ادامه پس از حذف پیکسل‌های با دامنه روشنایی کم و استفاده از روش Harris مکان نقاط ویژه در هر یک از سطوح فضای هرم توسط رابطه تیلور مشخص شده تا در انتهای نقاط ویژه از طریق درون‌بابی با دقت بالا به دست آید.

پس از استخراج نقاط ویژه و تعیین مکانی آنها، یک بردار توصیف‌گر برای هر یک از نقاط ویژه ایجاد می‌گردد. SIFT در David Low برای پایدارسازی بردار توصیف‌گر نقاط ویژه نسبت به دوران از هیستوگرام دامنه گردایان برای یکنواخت‌سازی نقاط ویژه نسبت به دوران استفاده نمود تا کلیه نقاط ویژه قبل از تطابق در یک جهت یکنواخت گردند. در

شکل ۵ جهت نقطه ویژه مورد نظر نشان داده شده است.

پس از استخراج جهت نقاط ویژه جهت تمامی نقاط ویژه برای توصیف آنها بایاس می‌گردد. در ادامه همانند شکل ۶ گردایان همسایگی نقاط ویژه در کنار یکدیگر به عنوان بردار توصیف‌گر آن نقطه ویژه در نظر گرفته می‌شود. پس از استخراج و توصیف نقاط ویژه از تصاویر هدف و مرجع و بررسی نزدیک‌ترین فاصله اقلیدیسی بردارهای توصیف‌گر تطابق‌های روش SIFT ایجاد می‌گردد.

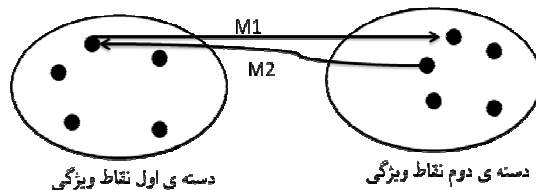
۳- روش RBRIEF

توصیف نقاط ویژه توسط روش SIFT دارای تمایز خوبی می‌باشد ولی زمان و محاسبات بالا از مشکلات عمده توصیف‌گر SIFT است. برای حل این مشکل، روش BRIEF^۲ Calonder توسط در David Low [۹] که در آنتابع τ برای جفت نقاط n (شکل ۷) در فضای $S \times S$ اطراف نقاط ویژه به صورت زیر تعریف می‌شود

$$\tau(I(x, y), (x', y')) := \begin{cases} 1 & \text{if } I(x, y) < I(x', y') \\ 0 & \text{otherwise} \end{cases} \quad (2)$$

تابع τ یک تابع بیتی برای نشان‌دادن اختلاف روشنایی ابتدا و انتهای مسیرهای تعریف‌شده در فضای $S \times S$ می‌باشد تا در ادامه توصیف‌گر

$$V_{BRIEF} = \sum_{1 \leq i \leq n} 2^{i-1} \tau(I(x_i, y_i), I(x'_i, y'_i)) \quad (3)$$



شکل ۹: انتخاب نزدیکترین همسایگی با بررسی تطابق‌های دورنحوه (بررسی تطابق دوستی) در قالب M_2 و M_1 .

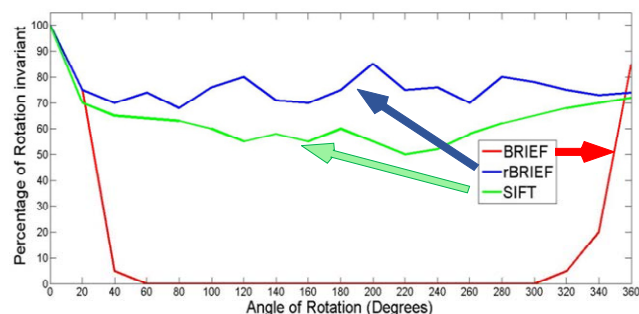
پس از استخراج نقاط ویژه از روی لبه‌های تصویر توسط روش SIFT نقاط ویژه روش rBRIEF که در بخش ۳ توضیح داده شد در قالب یک بردار توصیف می‌شوند. استفاده از روش rBRIEF برای توصیف نقاط ویژه باعث مقاومشدن نقاط ویژه نسبت به دوران و کاهش زمان الگوریتم خواهد شد.

گام نهایی پس از استخراج و توصیف نقاط ویژه با استفاده از روش پیشنهادی، تطابق بردارهای توصیف‌گر دو تصویر هوایی و ماهواره‌ای می‌باشد. برای تطابق بردارهای توصیف‌گر در این تحقیق از روش نزدیکترین همسایگی^۱ (KNN) استفاده شده است. در این روش ابتدا دسته‌ای از نزدیکترین توصیف‌گرها از تصویر هوایی برای هر کدام از توصیف‌گرهای تصویر ماهواره‌ای استخراج می‌گردد. در ادامه دوباره دسته‌ای از نزدیکترین توصیف‌گرها از تصویر ماهواره‌ای برای هر کدام از توصیف‌گرهای تصویر هوایی استخراج شده و سپس با بررسی تطابق‌های دورنحوه (شکل ۹)، نزدیکترین تطابق برای هر نقطه ویژه انتخاب می‌گردد [۱۱]. پس از تطابق تصاویر هوایی و ماهواره‌ای تطابق‌های نامطلوب توسط روش RANSAC [۱۲] حذف و تطابق‌های نهایی به دست می‌آید. در روش RANSAC صحت تطابق‌ها با استفاده از استخراج صحیح‌ترین ماتریس تبدیل یا نگاشت که با انتخاب مکرر سه نقطه ویژه تصادفی در تصویر هوایی و ماهواره‌ای به دست می‌آید، مورد بررسی قرار می‌گیرد.

وجود الگوهای ساختاری شبیه به هم باعث ایجاد برداری توصیف‌گر یکسان شده و تطابق‌های نامطلوب را ایجاد خواهد نمود که روش هندسی RANSAC توانایی کاهش این تطابق‌ها را ندارد و به همین دلیل در روش پیشنهادی مشابه و تکراری تصویری ایجاد گردد. در روش پیشنهادی در هر الگوهای مشابه و تکراری تصویری ایجاد گردد. در شکل ۱۰ نشان داده شده است.

۵- نتایج پیاده‌سازی و بحث

برای بررسی روش پیشنهادی در این تحقیق، روش پیشنهادی بر روی تصاویر هوایی و ماهواره‌ای از مناطق مختلف در مقیاس‌ها و چرخش‌های متفاوت بر روی یک سیستم کامپیوتری با پردازنده (Corei7 ۳.۲GHz) Visual Studio ۲۰۱۷ در محیط Windows ۷ توسط کتابخانه OpenCV ۲.۴.۹ اعمال گردید. همان طور که در بخش‌های قبلی بیان گردید، از محاسبن روش پیشنهادی نسبت به روش SIFT سرعت و دقت بالاتر آن می‌باشد. همان طور که در جدول ۱ نشان داده شده است، زمان اجرای روش پیشنهادی^۲ (SIBRIF) نسبت به سه



شکل ۸: عملکرد پایداری توصیف‌گرهای BRIEF، rBRIEF و SIFT در برای دوران.

توصیف‌گر BRIEF برخلاف توصیف‌گرهای SIFT و SURF نمی‌تواند جهت نقاط ویژه را محاسبه کند و در نتیجه بردار توصیف‌گر BRIEF نسبت به دوران پایدار نمی‌باشد.

برای حل این موضوع با استفاده از روش^۳ rBRIEF گشتاور روشنایی جهات نقاط ویژه از (۴) محاسبه می‌گردد

$$\theta = \text{atan}^2(m_{11}, m_{12}) \quad (4)$$

که گشتاور m_{pq} از (۵) به دست می‌آید

$$m_{pq} = \sum_{x,y} x^p y^q I(x,y) \quad (5)$$

با فرض این که فضای $S \times S$ نقاط مورد بررسی به صورت (۶) تعریف شود

$$S = \left((x_1, y_1), \dots, (x_n, y_n) \atop (x'_1, y'_1), \dots, (x'_n, y'_n) \right) \quad (6)$$

آن گاه بردار توصیف‌گر نقاط ویژه که نسبت به دوران پایدار می‌باشد از طریق (۷) به دست خواهد آمد [۱۰]. در (۷) نشان داده شده که توصیف‌گر BRIEF تنها برای مسیرهای در راستای زاویه نقطه ویژه می‌گردد. در شکل ۸ عملکرد پایداری توصیف‌گرهای BRIEF و rBRIEF در برای دوران نشان داده شده است و SIFT در برای دوران نشان داده شده است

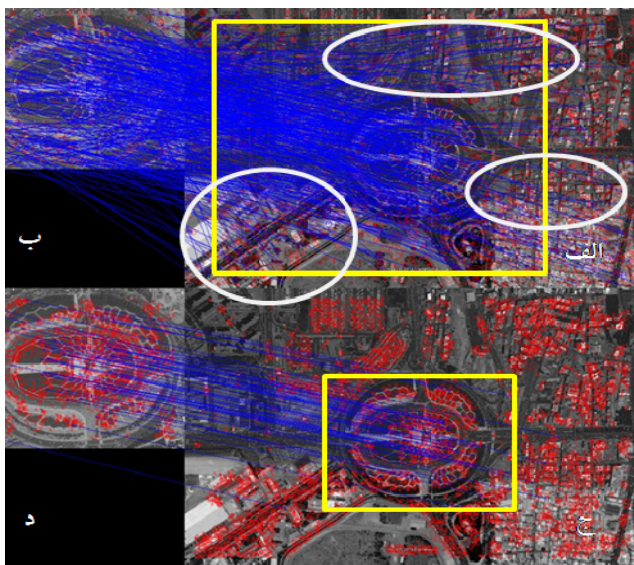
$$V_{rBRIEF} := V_{BRIEF} |((x_i, y_i), (x'_i, y'_i)) \in S_\theta \quad (7)$$

۴- روش پیشنهادی

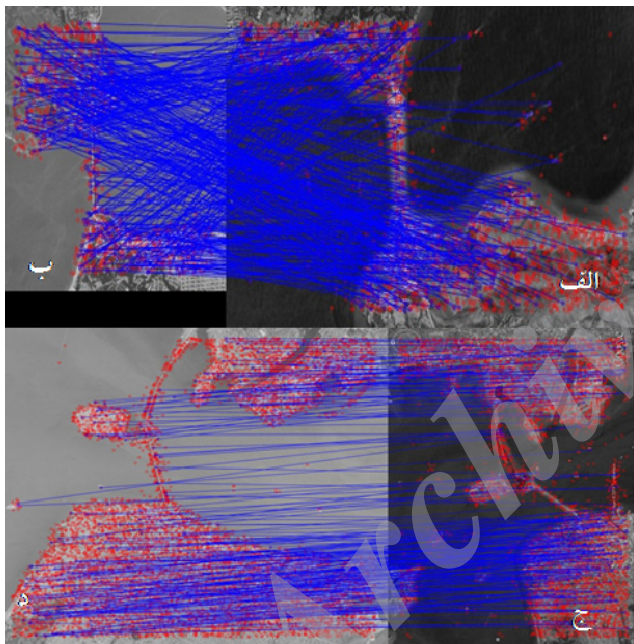
همان طور که در بخش ۲ توضیح داده شد، نقاط ویژه مقاوم در برای تغییرات مقیاس توسط روش SIFT استخراج می‌گردد ولی هنگامی که تصویر بزرگ یا نقاط ویژه زیاد (تصاویر هوایی) باشد استفاده از روش SIFT برای استخراج نقاط ویژه باعث افزایش زمان پردازش خواهد شد. برای حل این مشکل و افزایش کیفیت نقاط ویژه (مقاوم بودن در برای تغییرات جوی و اغتشاشات)، نقاط ویژه توسط روش SIFT از روی

لبه‌های تصویر که توسط لبه‌یاب Sobel ایجاد شده، استخراج می‌گردد.

برای استخراج نقاط ویژه از روی لبه‌های تصویر، پس از اعمال لبه‌یاب Sobel، با استفاده از روش آستانه‌گذاری مقدار هر پیکسل در تصویر لبه با مقدار آستانه (T) مقایسه می‌گردد و در صورتی که مقدار هر پیکسل بیش از مقدار آستانه (T) باشد، مقدار پیکسل تغییر نخواهد کرد و در غیر این صورت مقدار پیکسل برابر صفر قرار داده می‌شود. استخراج نقاط ویژه از روی تصویر لبه‌ها باعث کاهش نقاط ویژه نامطلوب، افزایش سرعت اجرای الگوریتم و صحت تطابق‌ها خواهد شد.

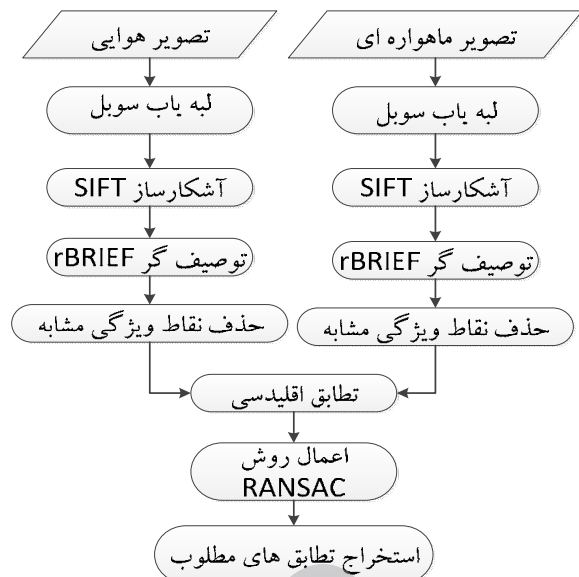


شکل ۱۱: ردیف اول: تطابق انجام شده توسط روش SIFT بین تصویر ماهواره‌ای در قسمت الف و تصویر هوایی در قسمت ب. ردیف دوم: تطابق انجام شده توسط روش پیشنهادی در این تحقیق بین تصویر ماهواره‌ای در قسمت ج و تصویر هوایی در قسمت د.



شکل ۱۲: ردیف اول: تطابق بین تصویر ماهواره‌ای در قسمت الف و تصویر هوایی با ۱۸۰ درجه دوران در قسمت ب نشان داده شده است. ردیف دوم: تطابق بین تصویر ماهواره‌ای در قسمت ج و تصویر هوایی تخریب شده توسط تبدیل Affine در قسمت ب نشان داده شده است.

تبدیل نگاشت هندسی یا همان تابع هموگرافی بین این نقاط را محاسبه می‌کنیم تا تابع تبدیل بین دو تصویر هوایی و ماهواره‌ای استخراج گردد. حال توسط این تابع تبدیل صحیح می‌توان تطابق‌های ایجاد شده توسط روش پیشنهادی با روش‌های دیگر را از لحاظ صحت و دقت مورد ارزیابی قرار داد. در نمودار شکل ۱۳ صحت تطابق‌های ایجاد شده توسط تابع هموگرافی، توسط نقاط کنترلی دستی برای یک جفت تصاویر هوایی و ماهواره‌ای از یک صحنه در هفت دوران مختلف نشان داده شده است. همان طور که دیده می‌شود به دلیل توصیف نقاط ویژه توسط روش rBRIEF که در بخش ۳ به مقاوم‌بودن این توصیف‌گر در مقابل دوران اشاره گردید، صحت تطابق‌های روش پیشنهادی نسبت به روش SIFT



شکل ۱۰: روند نمای روش پیشنهادی در این تحقیق برای تطابق تصاویر هوایی و ماهواره‌ای.

جدول ۱: زمان محاسبه بر حسب تعداد تطابق‌ها.

| روش | SIFT | PCA-SIFT | SURF | روش پیشنهادی (SIBRIF) |
|---------------------|------|----------|------|-----------------------|
| تعداد تطابق‌ها | ۱۸۲ | ۴۲ | ۱۴۰ | ۱۰۰ |
| زمان (بر حسب ثانیه) | ۱۲ | ۱۰ | ۵ | ۲ |

روش SIFT و PCA-SIFT و SURF کمتر و تعداد تطابق‌ها برای دو تصویر هوایی با ابعاد (پیکسل) 640×480 و ماهواره‌ای با ابعاد (پیکسل) 830×1400 مطلوب و مطمئن می‌باشد.

در شکل ۱۱ تطابق دو تصویر هوایی و ماهواره‌ای از میدان آزادی تهران توسط روش‌های SIFT در ردیف اول و روش پیشنهادی در این مقاله در ردیف دوم با مقیاس‌های مختلف دیده می‌شود. همان‌طور که در این شکل نشان داده شده است تعداد نقاط ویژه استخراج شده توسط روش SIFT (ردیف بالای شکل ۱۱) بسیار بیشتر از روش پیشنهادی (ردیف پایین شکل ۱۱) می‌باشد و در نتیجه زمان محاسبه بردار توصیف‌گر برای نقاط ویژه افزایش پیدا خواهد کرد و همچنین تطابق‌های نامطلوب که در ناحیه سفیدرنگ در ردیف بالای شکل ۱۱ نشان داده شده است به شدت افزایش پیدا خواهد کرد. ولی در تطابق‌های روش پیشنهادی دقت تطابق‌ها به شدت افزایش پیدا کرده به طوری که قسمت یا هدف مورد نظر با دقت بالای شناسایی شده است. همچنین زمان اجرای روش پیشنهادی نیز به دلیل عدم توصیف نقاط ویژه نامطلوب و تطابق آنها کاهش یافته است. برای بررسی بیشتر روش پیشنهادی، دو تصویر هوایی و ماهواره‌ای که نسبت به هم دوران ۱۸۰ درجه‌ای دارند، مورد آزمایش قرار گرفت (ردیف اول شکل ۱۲) و دیده می‌شود تطابق‌های مطلوبی بین تصویر ماهواره‌ای در قسمت الف و تصویر هوایی در قسمت ب ایجاد شده است. همچنین تطابق‌های ایجاد شده توسط روش پیشنهادی روی یک تصویر ماهواره‌ای و یک تصویر هوایی که توسط تبدیل Affine در هنگام تصویربرداری تخریب شده است، مورد بررسی قرار گرفت و دیده شد که روش پیشنهادی نسبت به تبدیل Affine نیز پایداری مناسبی دارد.

برای بررسی صحت تطابق‌های ایجاد شده توسط روش پیشنهادی، ابتدا چهار نقطه کنترلی متناظر در دو تصویر هوایی و ماهواره‌ای را به صورت دستی انتخاب می‌کنیم. سپس با استفاده از این نقاط کنترلی متناظر، تابع

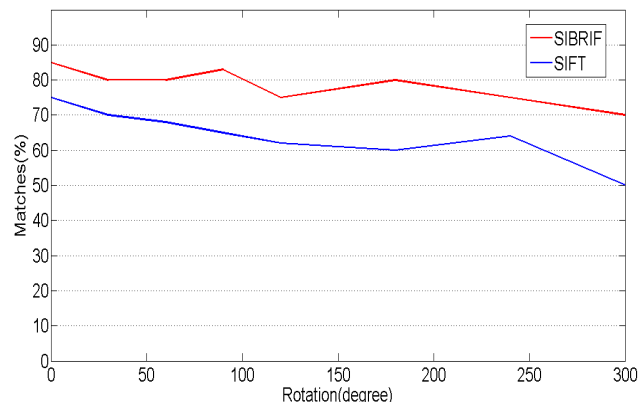
آزمایش‌های انجام شده دیده شد که روش‌های بررسی شده در این تحقیق نمی‌توانند تطابق‌های مطلوبی را برای تغییرات مقیاس بیش از پنج برابر ایجاد کنند. در تحقیقات آتی می‌توان بر روی ایجاد نقاط ویژه که نسبت به تغییرات مقیاس شدید، پایدار باشند تمرکز نمود و همچنین می‌توان برای پیاده‌سازی بلادرنگ، روش پیشنهادی را توسط سخت‌افزار کارت گرافیکی (GPU) توسعه زبان برنامه‌نویسی CUDA یا زبان برنامه‌نویسی OpenCL پیاده‌سازی نمود.

مراجع

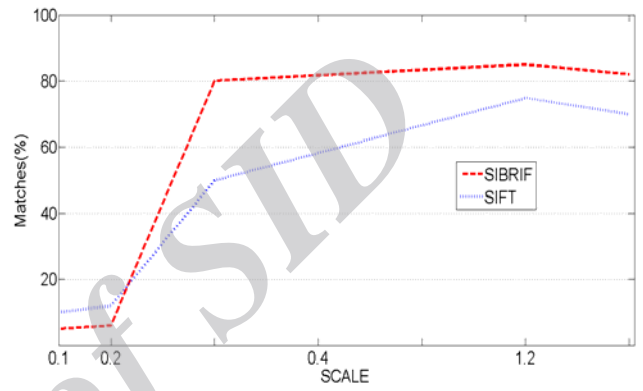
- [1] A. Nithya, *et al.*, "Feature based automated aerial image to satellite image registration," *International J. of Computer Science & Engineering Technology*, vol. 3, no. 7, pp. 286-289, Jul. 2012.
- [2] M. Guerrero, *A Comparative Study of Three Image Matching Algorithms: Sift, Surf, and Fast*, Ph. D. Thesis, Utah State University, 2011.
- [3] C. Harris and M. Stephens, "A combined corner and edge detector," in *Proc. Fourth Alvey Vision Conf.*, pp. 147-151, 1988.
- [4] M. Trajkovic and M. Hedley, "Fast corner detection," *Image and Vision Computing J.*, vol. 16, no. 6, pp. 75-87, Feb. 1998.
- [5] D. G. Lowe, "Object recognition from local scale-invariant features," in *Proc. IEEE Computer Vision Conf.*, vol. 2, pp. 1150-1157, 20-25 Sep. 1999.
- [6] Y. Ke and R. Sukthankar, "PCA-SIFT: a more distinctive representation for local image descriptors," in *Proc. IEEE Computer Vision and Pattern Recognition Conf.*, pp. 511-517, 27 Jun. - 2 Jul. 2004.
- [7] Y. Qing, B. Lin, and W. Fang, "An improved SIFT algorithm," *J. of Harbin Engineering University*, vol. 31, pp. 560-564, 2010.
- [8] H. Bay, A. Ess, T. Tuytelaars, and L. V. Gool, "Speeded-up robust features (SURF)," *Computer Vision and Image Understanding*, vol. 110, no. 3, pp. 346-359, Jun. 2008.
- [9] M. Calonder, *et al.*, "BRIEF: computing a local binary descriptor very fast," *IEEE Trans. on Pattern Analysis and Machine Intelligence*, vol. 34, no. 7, pp. 1287-1298, Jul. 2012.
- [10] E. Rublee, V. Rabaud, K. Konolige, and G. Bradski, "ORB: an efficient alternative to SIFT or SURF," in *Proc. 13th IEEE Int. Conf. on Computer Vision, ICCV'11*, pp. 2564-2571, 6-13 Nov. 2011.
- [11] D. G. Lowe, "Distinctive image features from scale invariant keypoints," *International J. of Computer Vision*, Springer, vol. 60, no. 2, pp. 91-110, Nov. 2004.
- [12] X. Lu, S. Zhang, W. Yang, and Y. Chen, "SIFT and shape information incorporated into fluid model for non-rigid registration of ultrasound images," *J. of Computer Methods and Programs in Biomedicine*, vol. 100, no. 2, pp. 123-131, Nov. 2010.

محسن صفری دانش آموخته کارشناسی مهندسی الکترونیک در سال ۱۳۸۸ از دانشگاه آزاد اسلامی واحد نجف آباد و کارشناسی ارشد مهندسی بیو الکتریک در سال ۱۳۹۰ از دانشگاه اصفهان می‌باشد. نامبرده از سال ۱۳۹۱ در رشته مهندسی برق-الکترونیک در دانشگاه اصفهان در موضوع تطابق تصاویر هوایی و ماهواره‌ای دانشجوی دکتری می‌باشد. مهندس صفری عضو گروه پژوهشی پردازش کاربردی تصویر و سیگنال دانشگاه اصفهان بوده و در زمینه پردازش تصاویر هوایی و ماهواره‌ای، مسیریابی و سامانه‌های پلاک خوان فعالیت‌های متعددی داشته و توسعه چندین محصول کاربردی، در این حوزه‌ها، در کارنامه ایشان دیده می‌شود. زمینه‌های علمی مورد علاقه ایشان شامل موضوعاتی مانند پردازش تصاویر و ماشین بینایی، شبکه‌های عصبی و توسعه سیستم‌های پردازش موازی مبتنی بر پردازنده‌های گرافیکی می‌باشد.

پیمان معلم دانش آموخته کارشناسی و کارشناسی ارشد مهندسی الکترونیک، به ترتیب در سال‌های ۱۳۷۰ و ۱۳۷۴ از دانشگاه صنعتی اصفهان و دانشگاه صنعتی امیرکبیر می‌باشد. نامبرده در سال ۱۳۸۲ موفق به اخذ درجه دکتری در مهندسی برق از دانشگاه صنعتی امیرکبیر گردید. دکتر معلم از سال ۱۳۸۲ به عنوان عضو هیأت علمی در دانشگاه اصفهان مشغول خدمت گردید و هم اکنون استاد گروه مهندسی برق دانشکده فنی و مهندسی و عضو گروه پژوهشی پردازش کاربردی تصویر و سیگنال دانشگاه اصفهان می‌باشد. زمینه‌های علمی مورد علاقه ایشان شامل موضوعاتی مانند پردازش تصاویر و ماشین بینایی، توسعه شبکه‌های عصبی و پردازش هوشمند سیگنال‌ها است. اجرای بیش از ۳۰ پروژه کاربردی، تألیف حدود ۳۰۰ عنوان مقاله در مجلات و کنفرانس‌های معتبر بین‌المللی و ملی و نیز تألیف ۳ عنوان کتاب در فعالیت‌های پژوهشی ایشان دیده می‌شود. ایشان در سال‌های ۱۳۸۸ و ۱۳۹۰ عنوان پژوهشگر برتر استان اصفهان در حوزه



شکل ۱۳: درصد تطابق‌های صحیح روش پیشنهادی (SIBRIF) و روش SIFT بر حسب میزان دوران تصویر ماهواره‌ای.



شکل ۱۴: درصد تطابق‌های صحیح روش پیشنهادی (SIBRIF) و روش SIFT بر حسب میزان تغییرات مقیاس تصویر ماهواره‌ای.

در دوران‌های مختلف بیشتر می‌باشد و همچنین در پنج مقیاس متفاوت، صحت تطابق‌های روش پیشنهادی و روش SIFT مورد بررسی قرار گرفت که دیده شد به دلیل حذف نقاط نامطلوب توسط روش لبه‌یاب سوبل در هرم گوسی مقاوم به تغییرات مقیاس از 0.3×0.5 تا 1.5×1.5 نسبت به روش پیشنهادی در بازه تغییرات مقیاس بیشتر شده ولی درصد صحت تطابق‌ها برای تغییرات مقیاس بیشتر که شکل هندسی اشکال یعنی گوشه‌های تصویر یا شکل هندسی اطراف نقاط ویژه کاملاً عوض خواهد شد به شدت افت پیدا خواهد کرد (شکل ۱۴).

۶- نتیجه‌گیری

ما در این مقاله روشی مبتنی بر روش‌های SIFT و rBRIEF پیشنهاد دادیم که در آن نقاط ویژه در فضای هرمی از روی تصویر لبه‌ها که به وسیله لبه‌یاب Sobel ایجاد شده، استخراج شده. همچنین برای افزایش صحت تطابق‌ها با حذف نقاط ویژه مشابه و با استفاده از روش طبقه دوطرفه بهترین تطابق‌ها انتخاب می‌گردد و سپس توسط روش RANSAC تطابق‌های نامطلوب حذف می‌شوند. همان طور که از نتایج ارائه شده در این تحقیق دیده شد، اولاً نقاط ویژه استخراج شده نسبت به روش SIFT کمتر و مطلوب‌تر خواهد بود که این عامل باعث کاهش زمان اجرای الگوریتم پیشنهادی به یک سوم زمان لازم برای اجرای روش SIFT خواهد شد. ثانیاً افزایش صحت نقاط ویژه باعث افزایش صحت تطابق‌ها خواهد شد که این عامل باعث افزایش کیفی الگوریتم پیشنهادی خواهد بود. همچنین باید بیان نمود کیفیت پایین تصاویر می‌تواند صحت تطابق‌های روش پیشنهادی را به شدت کاهش دهد. با توجه به

مهندسی، در سال ۱۳۹۱ عنوان پژوهشگر برتر در دومین جشنواره بین‌المللی تحقیق و توسعه ایران، و در سال‌های ۱۳۷۶ و ۱۳۸۵ و ۱۳۹۵ عنوان پژوهشگر برگزیده دانشگاه اصفهان را کسب کرده‌اند.

مهران ستاری دانش آموخته کارشناسی و کارشناسی ارشد مهندسی نقشه برداری- فنوتکنیک و فنوتکنیک صنعتی از دانشگاه اصفهان و دانشگاه اصفهان مهندسی نصیرالدین طوسی می‌باشد. نامبرده در سال ۱۳۷۸ از دانشگاه اصفهان و دانشگاه صنعتی خواجه نصیرالدین طوسی بهترین پژوهشگر در سال ۱۳۹۰ موفق به اخذ درجه دکتری در مهندسی نقشه برداری- فتوگرامتری از دانشگاه تهران گردید. دکتر ستاری از سال ۱۳۷۹ به عنوان عضو هیأت علمی در دانشگاه اصفهان مشغول خدمت گردید و هم‌اکنون استادیار گروه مهندسی نقشه‌برداری دانشکده عمران و مدیر گروه پژوهشی سنجش از دور دانشگاه اصفهان می‌باشد. زمینه‌های علمی مورد علاقه ایشان شامل موضوعاتی مانند فتوگرامتری، سنجش از دور و پردازش تصاویر و ماشین بینایی، است. اجرای ۴ پروژه کاربردی، تألیف حدود ۳۰ عنوان مقاله در مجلات و کنفرانس‌های معتبر بین‌المللی و ملی در فعالیت‌های پژوهشی ایشان دیده می‌شود. ایشان در سال‌های ۱۳۹۱ عنوان پژوهشگر برتر دانشگاه اصفهان را کسب کرده‌اند.